

V. SINOVITIS VELLONODULAR PIGMENTADA POLIARTICULAR: ESTUDIO CON MICROSCOPIA ELECTRONICA

Dr. Carlos D. Scognamillo, Docente del Departamento de Medicina Interna, Facultad de Ciencias Médicas, Universidad Nacional de Cuyo, Mendoza, Argentina.

Dr. Raúl Bistué, Profesor Adjunto del Departamento de Medicina Interna, Facultad de Ciencias Médicas, Universidad Nacional de Cuyo, y Jefe del Servicio Cátedra de Clínica Médica III, Hospital Central, Mendoza, Argentina.

Dra. Leonor Riveros de Gasparolo, Docente del Departamento de Medicina Interna, Facultad de Ciencias Médicas, Universidad Nacional de Cuyo, Mendoza, Argentina.

Dra. María Gallo de Sprazzato, Docente del Departamento de Medicina Interna, Facultad de Ciencias Médicas, Universidad Nacional de Cuyo, Mendoza, Argentina.

Dr. Carlos R. Wiederhold, Docente del Departamento de Medicina Interna, Facultad de Ciencias Médicas, Universidad Nacional de Cuyo, Mendoza, Argentina

Dra. Lucía J. Bruno, Ex médica residente, Servicio Cátedra de Clínica Médica III, Facultad de Ciencias Médicas, Universidad Nacional de Cuyo, Hospital Central, Mendoza, Argentina.

Dra. Elena Ramos de Guevara, Bioquímica del Departamento de Medicina Interna, Facultad de Ciencias Médicas, Universidad Nacional de Cuyo, Mendoza, Argentina.

Dra. Liber Puy, Docente del Instituto de Histología, Facultad de Ciencias Médicas, Universidad Nacional de Cuyo, Mendoza, Argentina.

Institución donde se realizó el trabajo: Servicio Cátedra de Clínica Médica III, Departamento de Medicina Interna, Facultad de Ciencias Médicas, Universidad Nacional de Cuyo, Hospital Central - Alem y Salta, (5500) Mendoza, Argentina.

RESUMEN

La sinovitis vellonodular pigmentada es casi siempre monoarticular. Un curso poliarticular es extremadamente raro, como lo demuestra la revisión de la literatura mundial consultada. Se presenta un caso de compromiso poliarticular por lo inusual de la afectación, con hallazgos parciales en la microscopia electrónica y tratamiento con metotrexate oral, ante la refractariedad a la terapéutica convencional con esteroides, radioterapia y sinovectomía. El diagnóstico se efectuó por la clínica, radiología, laboratorio y biopsias sinoviales repetidas en el tiempo, descartándose otras entidades.

Se trataba de una mujer de 45 años de edad, que comienza a los 16 años con artritis de codo y tenosinovitis derechos. Tres años después: artritis de rodilla derecha. Se realiza biopsia sinovial, con diagnóstico de sinovitis vellonodular pigmentada. En el curso intermitente de la enfermedad, desarrolla artritis temporomaxilar y artritis de rodilla izquierda, practicándose sinovectomía. En la última internación presenta artritis de rodilla derecha, efectuándose sinovectomía, con diagnóstico histopatológico de sinovitis vellonodular pigmentada. Se realiza, asimismo, examen por microscopia electrónica. Actualmente: artritis de ambas rodillas. En la microscopia electrónica se observó: células sinoviales con prolongaciones citoplasmáticas numerosas, cuyo citoplasma presenta abundantes mitocondrias y cuerpos densos, con escaso retículo endoplásmico rugoso representando, probablemente, sinoviocitos de tipo A.

SUMMARY

Although pigmented villonodular synovitis (PVNS) occurs in both localized and diffuse forms (DPVNS), it is the latter as a chronic monoarticular arthritis, that confronts with most difficulty in diagnosis and treatment. Because it is crucial to an accurate diagnosis, the histopathology of PVNS warrants careful attention. DPVNS is nearly always monoarticular.

A patient is presented with a polyarticular pigmented villonodular synovitis confirmed by histopathological studies after sequential synovectomies. The electron microscopic examination showed that synovial lining cells were predominantly type A. They were characterized by scanty endoplasmic reticulum and varying numbers of lysosomes.

Palabras clave: Artritis poliarticular - Sinovitis vellonodular pigmentada.
Polyarticular arthritis - Pigmented villonodular synovitis.

INTRODUCCION

La expresión sinovitis vellonodular pigmentada fue introducida por Jaffe y cols. en 1941.⁽⁶⁾ Como se deduce de este nombre, existe una proliferación crónica del tejido sinovial, que es de color marrón oscuro debido al depósito excesivo de hemosiderina. La sinovial prolifera formando vellosidades que brotan en grupos, a veces en forma difusa y a veces enteramente localizadas o nodulares.

Por lo general está afectada una sola articulación, siendo la rodilla la que con más frecuencia es atacada por la enfermedad. Sin embargo, también se ha des-

crito la afectación de otras articulaciones, tales como la cadera, codo, tobillo, hombro, muñeca y más recientemente, las articulaciones temporomandibulares.^(2, 7, 9, 12)

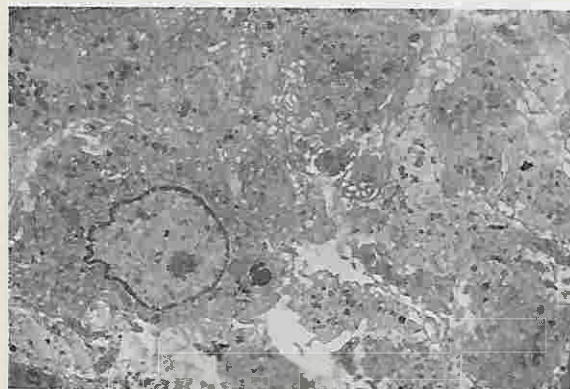
En raras ocasiones, la sinovitis vellonodular pigmentada ha sido poliarticular. La literatura mundial contiene sólo un pequeño número de casos documentados histopatológicamente de afectación poliarticular.^(2, 10, 13)

El objeto de este trabajo es presentar un caso de sinovitis vellonodular pigmentada de tipo poliarticular, con estudios histopatológicos secuenciales,

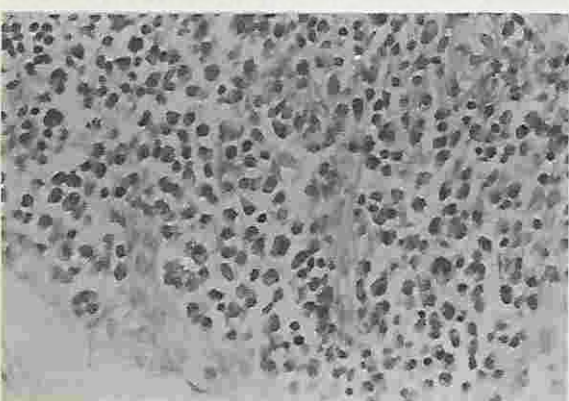
La sirovitis veleondular pigmentada representa un grupo de afecções tumoriais benignas interrelacionadas, que afectan los revestimientos de articulacio-nes, bolas y vainas tendinosas y/o los tejidos fasciales y ligamentosos adyacentes a los tendones. (12)

COMENTARIOS

Figuras 2 y 3. Microscopía electrónica. Se observan cortes de célijas sinoviales a diferentes niveles, las que muestran numerosos prolongaciones citoplasmáticas. Dicho citoplasma presenta abundantes mitocondrias y otros cuerpos denos. Tales que el retículo endoplasmico rugoso es escaso representando, probablemente, al sinovocito de tipo A.



This electron micrograph displays a dense field of biological tissue. The image is dominated by various cellular components, including numerous small, dark, circular structures, likely vesicles or organelles, scattered throughout the cytoplasm. A prominent feature is a large, irregularly shaped nucleus located in the upper left quadrant. The surrounding cytoplasm contains a mix of lighter, granular areas and darker, more densely packed regions, suggesting different types of cellular specialization or metabolic activity. The overall texture is grainy, typical of high-magnification electron microscopy.



Durante la infección la paciente tiene tratada con fármacos analgésicos y antiinflamatorios no esteroides y esteroides para vía oral. Ante la refractariedad a dichos medicamentos, se inicia tratamiento oral entre 7,5 a 10 mg, durante 6 meses con bolo semanal de meloxicam, que debe oscilar entre 7,5 a 10 mg, durante 6 meses con tolerancia.

Microscopia electrónica: se observan crestas de células shinyulares a diferentes niveles, las que muestran numerosas citoplasmas demandantes y con densos mitocondrios y retículo endoplasmático. Dicho organismo es escaso y probablemente representando al shiryoicito de tipo A (figs. 2 y 3).

Microscopía óptica: se pudo inflamar el linfocito-macitario. Fibroblastos juveniles y células espumosas. Desgajos de hemosiderina (fig. 1).

Durante la intermación se efectuó shvovetomía de la rotilla derecha, en vía endoscópica con microscopio óptico y microscopio eléctromagnético.

negativo. Radiografía de rodillas: tumefacción de partes blandas. Conservación de la articulación de la rodilla, con moderado pinzamiento interno en la rodilla derecha. Inclipline de osteopenia yuxtarticular.

Examen fisiico: buen estadio general, obesa, afebril. Tumefaccion de la rodilla derecha, con derriame articular escaso, sin aumento de la temperatura local y dolor y limitacion a la movilidad activa y pasiva. Tumefaccion sin derriame de la rodilla izquierda, que presenta buena movilidad. Limitacion de la flexo-extencion de la columna cervical. Fuerza muscular normal. Resto del examen fisico, normal. Laboratorio: Hto.: 37 %. Glbulos blancos: 8.000 por mm³. Formula leucocitaria, normal. Eritrosedimentacion: 33 mm en la primera hora. Examen del liquido sinovial de la rodilla derecha: aspecto turbio. Viscosidad: 37 %. Coagulo de muclea, regular, fragmentos blandos en liquido turbio. Recuento cellular: 4.800 per mm³. Recuento diferecial: polimorfonucleares, 60%; mononucleares, 40%. Glicosa: 0,63 gramos por mil. No se observan cristales. Examenes para Y mononucleares, 40%. Glicosa: 0,63 gramos por mil.

16 ahoas de edad con articulaciones carpiocarpianas y tricipitales que se presentaron en la articulación del hombro y el codo. Los pacientes eran varones y mujeres de 10 a 19 años. Los síntomas principales fueron dolor y limitación de movimiento. Los signos de exploración fueron dolor a la palpación, edema y limitación de movimiento. Los tratamientos incluyeron reposo, hielo, compresión y elevación. Los resultados fueron buenos en todos los casos.

A. M. F. - Mujer, 45 años de edad. Higrésa por artitis de rodilla derecha.

CASO CLINICO

bien documentados, incluyendo microscopía electrónica y la Facultad de Ciencias Médicas de la Universidad Nacional de Cuyo.

1. Aszkenasy, M.B.: "Programmed nodular synoviostis". Am J Clin Pathol, 58:1-8, 1972.

2. Degen, W.P.: "Programmed villonodular synoviostis: A review with illustrative case reports". Semin Arthritis Rheum, 9:12-22, 1979.

3. Chaudhuri, N.; Lambréde, M.D.; Clark, C.E.: "Ultrastructure of programmed villonodular synoviostis". Am J Pathol, 104:1150, 1985.

4. Lecanda, G.; Hachulla, R.; Peccy, L.; Sy, C.: "Programmed villonodular synoviostis in multiple joints". Ann Rheum Dis, 34:293-272, 1975.

5. Mihailidis, C.; Li, Levine, P.M.; Rekem, H.: "Preferential synoviostis in hemophilic joints". Am J Pathol, 103:13-20, 1978.

6. Myers, B.W.; Meiss, A.; Fleischbaum, S.: "A clinical pathologic study of 166 cases and literature review". Acta Orthop Scand, 40:117-118, 1969.

7. Neff, H.L.; Lichtenstein, L.; Sutro, G.J.: "Programmed villonodular synoviostis". Am J Pathol, 31:71-76, 1951.

8. Kelleher, T.D.; Vasy, E.; Akhakowich, M.; Seeger, C.B.: "Textbook of rheumatology", 2nd edition W.B. Saunders, Philadelphia, 1983.

9. Lamson, W.A.: "Programmed nodular synoviostis". Med Chin North Am, 61:1-10, 1972.

10. Lees, C.S.; Gitter, B.; Peccy, L.; Sy, C.: "Programmed villonodular synoviostis". Am J Pathol, 115:172-176, 1976.

11. Minami, C.; Li, Levine, P.M.; Rekem, H.: "Preferential villonodular lesions in hemophilic joints". Am J Pathol, 103:13-20, 1978.

12. Mc Garry, D.J., ed.: "Arthritis and allied conditions". 10th edition, Lea and Febiger, Philadelphia, 1955.

13. Myers, B.W.; Meiss, A.; Fleischbaum, S.: "A clinical pathologic study of 166 cases and literature review". Acta Orthop Scand, 40:117-118, 1969.

14. Neff, H.L.; Lichtenstein, L.; Sutro, G.J.: "Programmed villonodular synoviostis". Am J Pathol, 31:71-76, 1951.

15. Schumacher, H.R.; Kotke, P.; Arelys, B.; Reichlis, S.: "Programmed villonodular synoviostis". Am J Pathol, 103:13-20, 1978.

16. Triantafyllou, I.H.; Chirov, R.T.: "Programmed villonodular synoviostis". Clin Orthop, 123:2-11, 1974.

17. Wiley, L.: "The small cell proliferation of programmed villonodular synoviostis". Am J Med, 58:44-47, 1975.

18. Wiley, L.: "Electron microscopic study". Arthritis Res, 1:205-214, 1967.

BIBLIOGRAFIA